

新日鉄 正員 ○大田孝二  
名工大 正員 長谷川彰夫  
東大 正員 西野文雄

1. 序 圧縮と曲げを受ける補剛板の設計に関する現行示方書<sup>1)</sup>の規定には不明確な点が多く、特に所要補剛材剛性の規定には疑問の点が少なくない。また、同規定では補剛材本数が少い場合を対象としているが、今後長スパンアーチの腹板などでは多數の補剛材をもつ圧縮と曲げを受ける板の設計が必要となることが考えられる。こゝでは、等間隔等剛性継補剛材で補剛された板を対象とし、その所要補剛材剛性をより合理的に決定するとともに、その時の板の最大幅厚比を提案する。なお、解析方法は有限帶板法<sup>2)</sup>を用いた。

## 2. 設計に対する基本概念と補剛材所要剛性

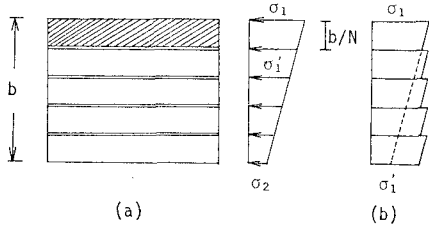


図1 Patterns of Stress Distribution

応力勾配係数 $\gamma$ を図1の $\sigma_1$ ,  $\sigma_2$ を用いて $\gamma = \sigma_2/\sigma_1$ とする。補剛板の座屈応力度 $\sigma_{icr}$ は、補剛材の剛性を大きくして補剛板が局部座屈する時の応力度 $\sigma_{local}$ を越えることはない。すなわち、 $\sigma_{icr} \leq \sigma_{local}$  …(1)である。こゝで $\gamma$ に対する下添字1は、圧縮側最大縦応力度を示す。補剛材で仕切られた板パネルのうち、座屈に対して最も危険な応力状態のパネル（図1の斜線部パネルで以下基準パネルと呼ぶ）の両非載荷辺を単純支持とした時の座屈応力度を $\sigma_{io}$ とすると、これは $\sigma_{local}$ の下界値となっている。設計上の目的で $\sigma_{local}$ の安全側の近似値として $\sigma_{io}$ を採用すれば、式(1)は $\sigma_{icr} \leq \sigma_{io}$  …(2)となる。式(2)で $\sigma_{icr}$ の上限の制限された場合、補剛板の座屈は基準パネルの局部座屈ではなく、補剛板の全体座屈により支配される。 $\sigma_{io}$ ,  $\sigma_{icr}$ に対応する座屈係数を $k_0$ 、 $k_{reg}$ とすれば次式が成立する。

$$\sigma_{io} = \frac{\pi^2 E}{12(1-\nu^2)(\frac{b}{L})^2}, \quad \sigma_{icr} = \frac{\pi^2 E}{12(1-\nu^2)(\frac{L}{b})^2} \dots (3)$$

こゝで $L$ は基準パネルの幅である。補剛材で分割されたパネル数を $N$ とすれば、 $\gamma = N\delta_0$ となり、式(3)を用いて、式(2)を座屈係数により表示すると次のようになる。 $\gamma \leq N\delta_0$  …(4) 式(4)は図1-(b)に示すように基準パネルの応力分布をすべての分割パネルに対してえた場合に相当する。

補剛板における補剛材の役割は、可能な限り薄い板要素を補強することによって、その座屈強度を効果的に高めることである。このためには、特別な制約がない限り式(4)の座屈係数としては、その上限値を採用することが補剛板の設計としては有効と言える。この座屈係数を $k_{reg}$ とすれば、 $k_{reg} = N^2 k_0$  …(5) である。

$\gamma$ をパラメータとした無補剛板の座屈係数 $\delta_0$ の値はほぼ次のように表わされる<sup>3)</sup>。

$$\delta_0 = 8.4 / (\gamma + 1.1) \dots (0 < \gamma \leq 1.0) \quad (6-a, b)$$

$$\delta_0 = 10\gamma^2 - 6.27\gamma + 7.63 \quad (-1 \leq \gamma \leq 0) \quad (6-b)$$

補剛板の基準パネルの応力勾配係数 $\gamma_{sp}$ は、図1の $\sigma_1$ ,  $\sigma_2$ を用いて、 $\gamma_{sp} = \sigma_2''/\sigma_1 = (N-1+\gamma)/N$  …(7) であり、圧縮と曲げを受ける板の場合、 $\gamma_{sp}$ は常に正となることから、式(7)の $\gamma_{sp}$ を式(6-a)に代入すると、式(8)となり、 $\delta_0 = 8.4N / (2.1N-1+\gamma) \dots (8)$  となる。式(8)を式(5)へ代入すれば補剛板全体が持べき座屈係数 $k_{reg}$ が求められ、次式を得る。 $k_{reg} = 8.4N^2 / (2.1N-1+\gamma) \dots (9)$

両非載荷辺単純支持、図1-(a)の応力状態のもとで、式(9)で与えられる座屈係数を得るために必要な補剛材剛比 $k_{reg}$ を計算する。DIN4114で規定されている純圧縮に対する最小剛比 $\gamma^*$ を基準にとって、この $k_{reg}$ を $k_{reg} = m\gamma^*$  …(10) のように示すことにする。 $m$ は0~1の係数であり、 $\gamma$ が1なら常に1となる。 $\gamma^*$ は補剛板の辺長比とすれば、一般に $k_{reg}$ および $m$ は、 $\alpha$ ,  $\beta$ ,  $N$ の関数であり ( $\alpha$ は面積比),  $\gamma^*$ は、 $\alpha$ ,  $\beta$ ,  $N$ の関数である。計算結果によれば、 $m$ は $\alpha$ ,  $N$ に殆んど依らないといふことがあることができ、結果のみを示せば $\gamma^*$ は安全側に近似して次式で表わされる。 $\gamma^* = \left\{ 1 - \frac{\alpha}{2(\alpha+1)} \right\}^{1/2}$  …(11)

現行示方書では、純圧縮を受ける補剛板の補剛材所要剛比を、実際の設計に採用する板厚と最大幅厚比を与える板厚の比の関数として表わし、規定が許される最大幅厚比が決まる板厚より厚い板厚を用いた場合、形の上では板を厚くした分だけ補剛材の所要剛性  $I_{req}$  を低減しており、曲げと圧縮の場合もこれに準じる。しかし、この方法にかえり次の方法を用いれば、経済的など上に簡単であり十分安全であることがわかる。すなはち実際の設計で用いる幅厚比の値に無関係に、規定が許される最大幅厚比から決まる補剛材所要剛性を用いる。つまり、 $I_{req}$  は板幅を  $b$ 、最大幅厚比を与える板厚を  $t_0$ とした時、次式で与えられる。

$$I_{req} = \left\{ \frac{bt_0^3}{12(1-\psi^2)} \right\} \cdot \gamma_{req} \quad \dots (12)$$

ここで、 $\gamma_{req}$  を求めると必要がよし、 $t_0$  を用いて算出する。

### 3. 設計最大幅厚比

座屈に対する安全率  $S$  を次のように定める。純圧縮を受ける板に対しこれは、補剛材に無関係に安全率は  $S_c$ 、純曲げを受ける無補剛の板に対しこれは安全率は  $S_b$  とし、これらを  $S$  の最大値、最小値とする。圧縮と曲げを受ける板の場合、 $S$  は  $N$  が一定なら  $\psi$  に応じて直線的に変化するとし、 $N$  が一定なら  $N$  が増すにつれて、ウェブ剛性、フランジ剛性の差が小さくなることを考慮し、 $S_c$  に近づくと仮定する。これらを満足する式として、次式を用いる。 $S = S_c + (\psi - 1)(S_c - S_b) / 2N \dots (13)$

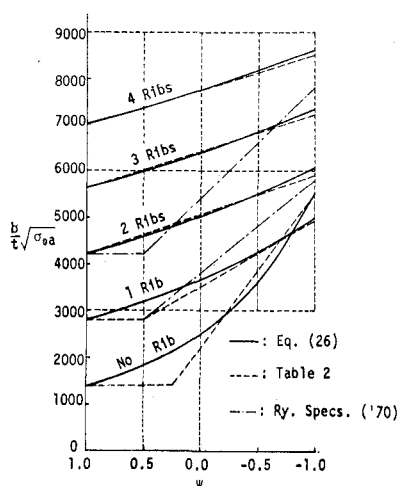


図2 % Requirements vs.  $\psi$  Relations

残留応力による座屈強度の低下を考慮した時のしない場合に対する幅厚比の低減率  $R_{cr}$  は、無補剛板に対しては、純圧縮  $\psi = 0.7$ 、純曲げ  $\psi = 1.0$  とし、圧縮と曲げを受ける板の場合は  $\psi$  に応じて直線的に変化するとする従来からの考え方<sup>1)</sup>を採用する。補剛された板に対するそれは、式(2)より基準パネルの低減率と補剛板全体の低減率とする必要がある。従って  $R_{cr}$  は次のようによく表わされる。 $R_{cr} = 0.85 - 0.15(N-1+\psi)/N \dots (14)$

短柱における許容圧縮応力  $\sigma_{aa}$  が作用した場合に、座屈に対する安全率  $S$  が確保される場合の幅厚比は、の低減率を用いて、 $\frac{\sigma}{\sigma_{aa}} \leq R_{cr} \frac{\pi^2 E}{12(1-\psi^2)} \cdot \frac{R}{S \sigma_{aa}} \dots (15)$  と表わすことができる<sup>2)</sup>。またして式(9)をとり、式(13)、(14)と式(15)へ代入することにより、次式を得る。

無補剛  $\psi = -1 \leq \psi < 0$  の場合

$$\frac{b}{t_0} \sqrt{\sigma_{aa}} \leq 1378 (0.85 - 0.15\psi) \sqrt{\frac{10\psi^2 - 6.27\psi + 7.63}{(\frac{S_c + S_b}{2} + \frac{S_c - S_b}{2}\psi)^2}}$$

その他の場合

$$\frac{b}{t_0} \sqrt{\sigma_{aa}} \leq 1378 N^2 (0.7 + 0.15 \frac{1-\psi}{N}) \sqrt{\frac{8.4}{(2.1N-1+\psi) \left[ \frac{S_c - S_b}{2} (\psi-1) + S_c N \right]}}$$

今、 $S_c = 1.9$ 、 $S_b = 1.5$ <sup>3)</sup> および  $N$  を上式に代入し、設計最大幅厚比と  $\psi$  の関係式を図2に実線で示す。この結果に基づく設計式として図中の点線で示した直線を用いることにし、これを表にすれば、表1が得られる。なお、図2の一点鎖線は現行の鋼鉄道橋設計標準の最大幅厚比規定である。

表1. % Requirements for Plates with Equally Spaced Ribs

| No. of Ribs                                 | Range of $\psi$            | Maximum Width-Thickness Ratio                         |
|---|----------------------------|---|
| Plane Plates                                | $-1.0 \leq \psi \leq 0.25$ | $\frac{2200-3200\psi}{\sqrt{\sigma_{aa}}}$            |
|   | $0.25 < \psi \leq 1.0$     | $\frac{1400}{\sqrt{\sigma_{aa}}}$                     |
| Plate with 1 Rib                            | $-1.0 \leq \psi \leq 0.5$  | $\frac{3500-1400\psi}{\sqrt{\sigma_{aa}}}$            |
|   | $0.5 < \psi \leq 1.0$      | $\frac{2800}{\sqrt{\sigma_{aa}}}$                     |
| Plates with more than 2 Equally Spaced Ribs | $-1.0 \leq \psi \leq 1.0$  | $\frac{1400N+(1-\psi)(1000-50N)}{\sqrt{\sigma_{aa}}}$ |

- 参考文献 1) “鋼鉄道橋設計標準解説”，土木学会，昭45，  
2) 大田、長谷川、奥村，“有限帶板法によるリブ付板の  
弾塑性 座屈解析” 28回年次講演集，昭48-10, pp127~128  
3) DIN4114 Blatt 1, 6, 1952